

Fig. 4. Modelo de elevación del terreno con líneas de acumulación de flujo en negro.



Fig. 5. Índice de aspecto de la pendiente.

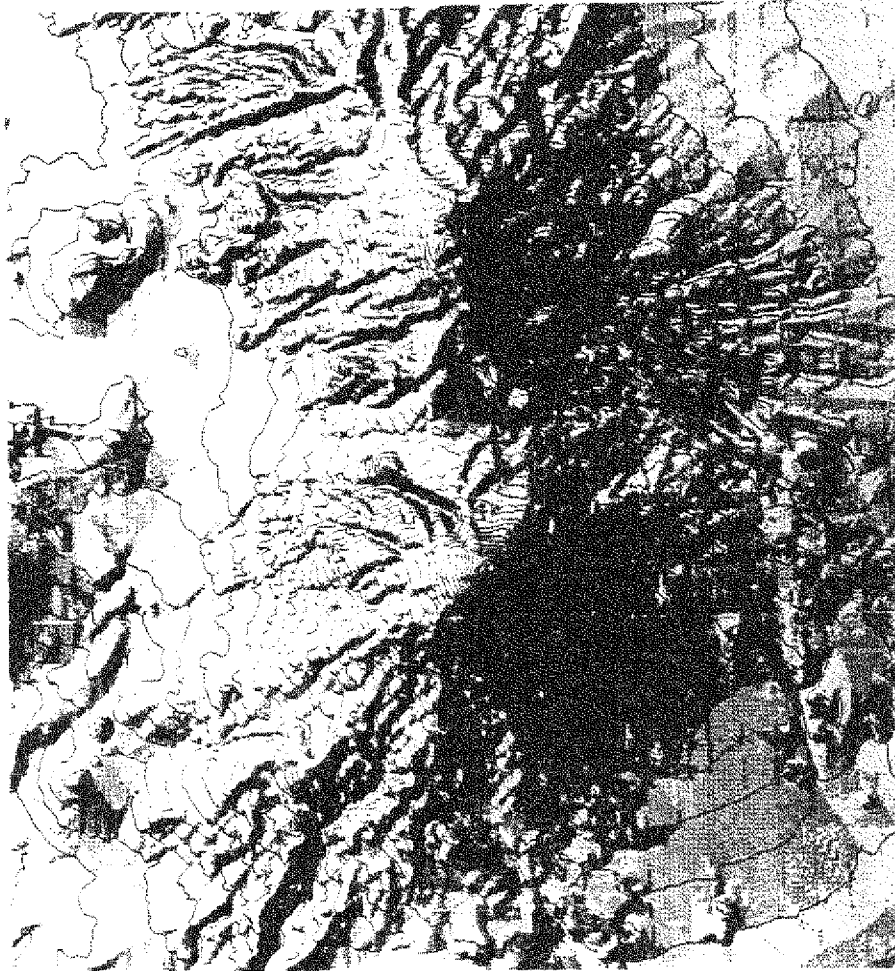


Fig. 6. Índice de aspecto de la pendiente con líneas de topografía superpuestas.